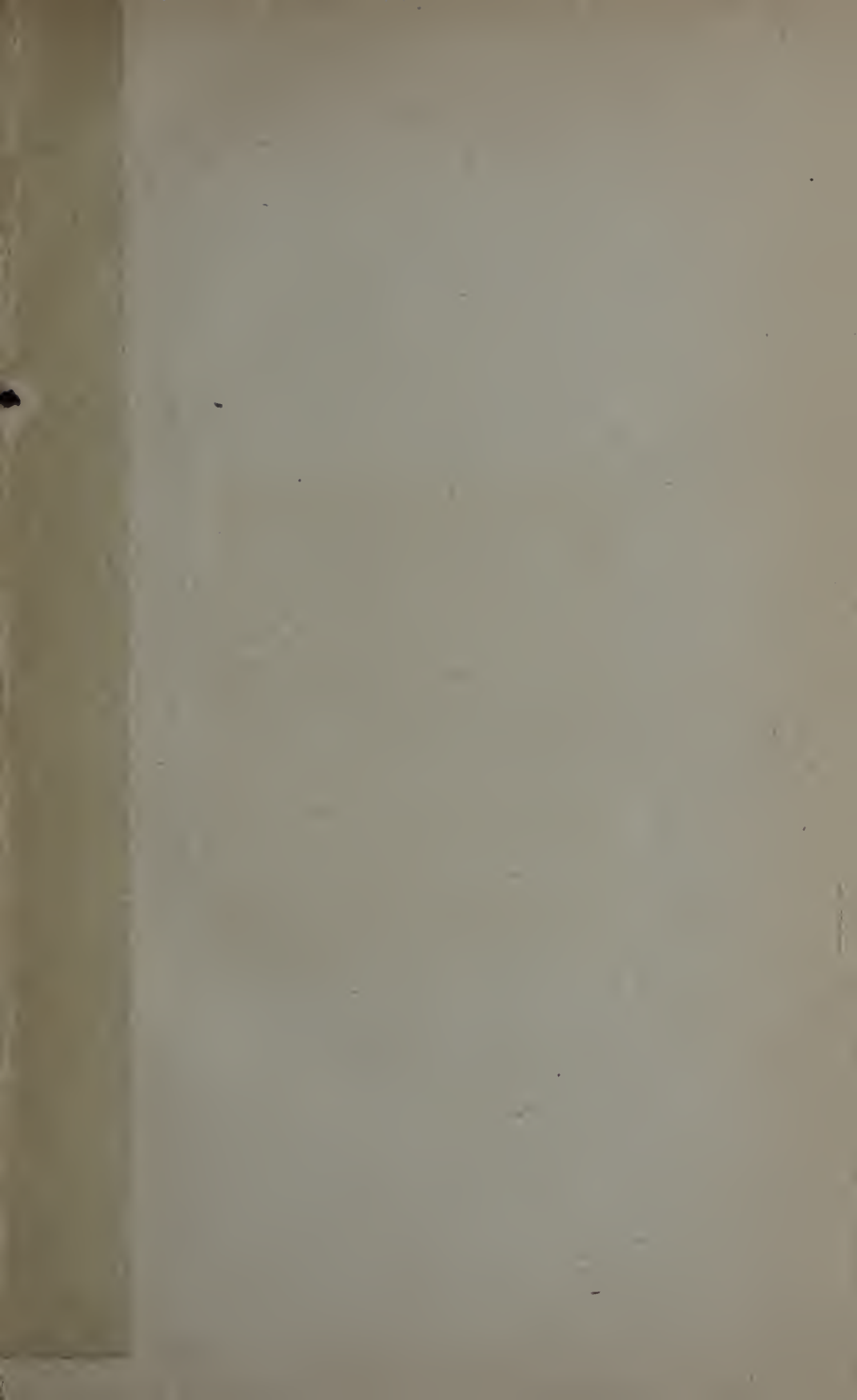
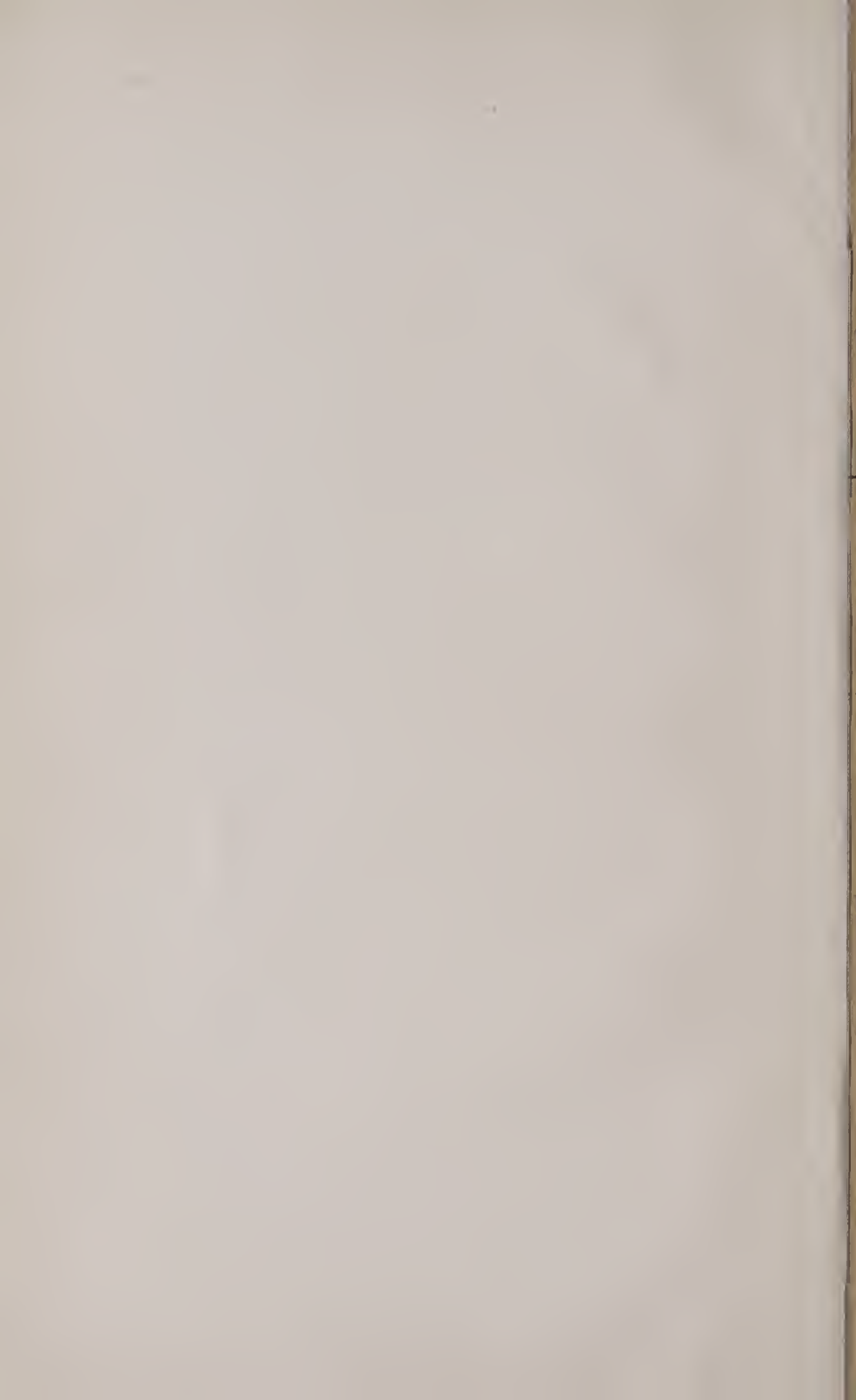


FOR THE PEOPLE
FOR EDVCATION
FOR SCIENCE

LIBRARY
OF
THE AMERICAN MUSEUM
OF
NATURAL HISTORY

Bound at
A.M.N.H.
1916





SUITES
A
BUFFON

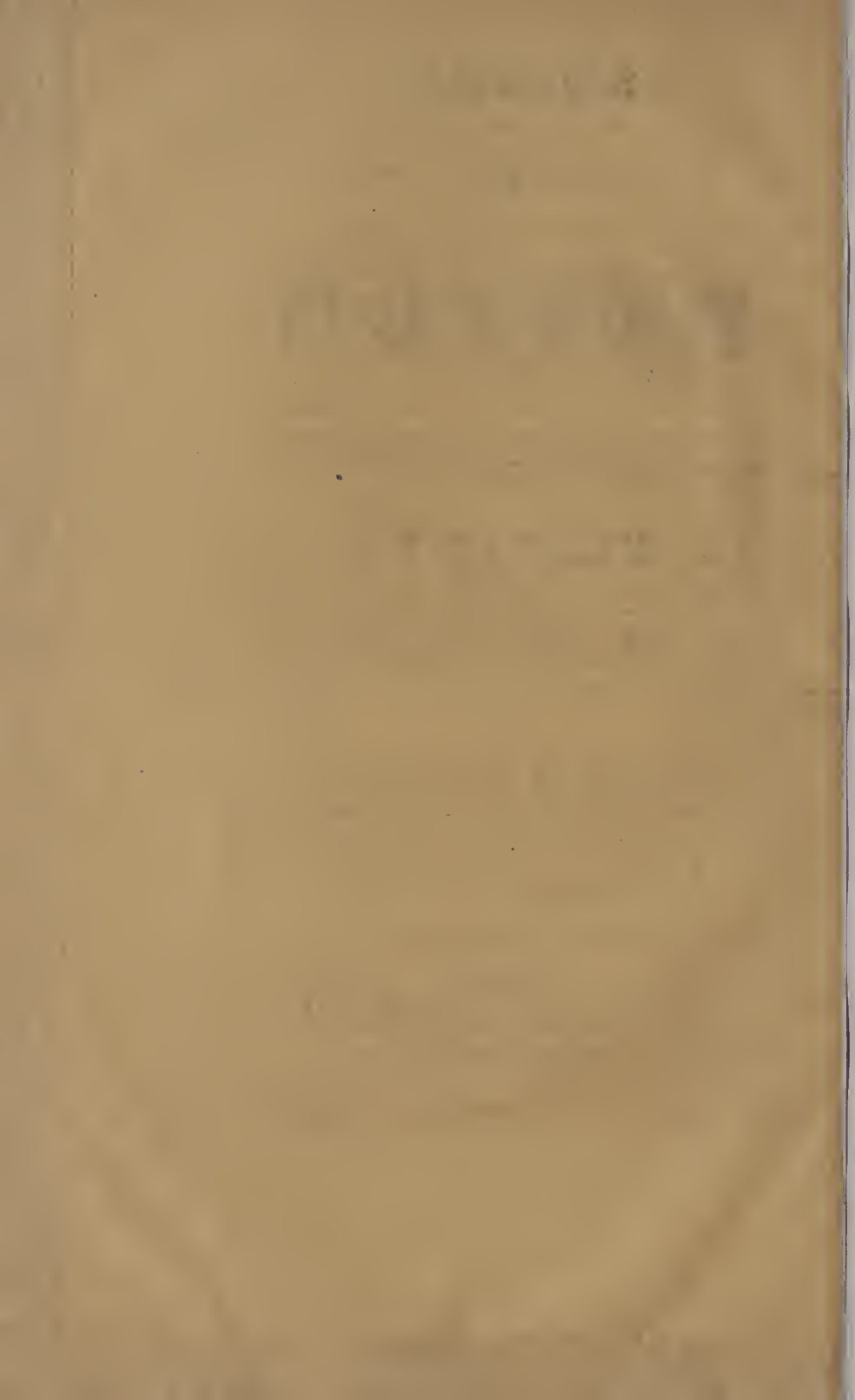
PLANCHES

plates 21-29

5 *Livraison*

ANNELÉS.

PARIS
RORET, LIBRAIRE-ÉDITEUR
RUE HAUTEFEUILLE, 12



16-70091-April 14.

PLANCHE 21.

LOMBRICINÉENS.

Fig. 1. Organes génitaux du *Lumbrieus fætidus*, Sav. (p. 24). — Gross. environ 2 D. (Les chiffres placés au côté gauche de la figure indiquent le rang des anneaux).

a, a', a'', testicules. — *b, b'*, pavillons à cils vibratiles constituant les orifices profonds des canaux déférents. — *e, e*, canaux déférents, faisant suite à ces pavillons et réunis plus loin en un canal déférent unique *e'*. — *d, d'*, poches copulatrices. — *e*, ovaire. — *f*, pavillon à cils vibratiles constituant l'orifice profond de l'oviducte *f'*. — *g*, tube digestif coupé, la portion postérieure a été enlevée. — *h*, chaîne ganglionnaire nerveuse.

Fig. 2. *Lumbrieus (Lumbrieus) terrestris*, Lin. (p. 121). Portion antérieure du corps montrant le prolongement du lobe céphalique, qui partage entièrement l'anneau buccal. — Gross. environ 2 D.

Fig. 3. Coupe schématique du corps chez le même montrant la disposition des soies géminées.

Fig. 4. *Lumbricus (Allobophora) communis*, Hoffm. (p. 134). Portion antérieure du corps montrant le lobe céphalique, qui entame incomplètement l'anneau buccal. — Gross. environ 2 D.

Fig. 5. *Lumbrieus (Dendrobæna) octaedrus*, Sav. (p. 119). Coupe schématique du corps montrant la disposition des soies presque équidistantes.

Fig. 6. *Megaseolex diffringens*, Baird (p. 73). Des serres de M. Fages à Montpellier. — Grandeur naturelle.

Fig. 7. Tête du même en marche, vue par dessus et montrant la projection de la partie antérieure du tube digestif, dont l'animal se sert comme d'une sorte de ventouse. — Un peu grossie.

Fig. 8. La même vue de côté.

Fig. 9. Organes génitaux mâles du *Megascolex cingulatus*, Schmar. (p. 25 et 72). — Gross. 2 D. (Même remarque que pour la figure 1 relativement aux chiffres placés sur l'un des côtés, les chiffres romains indiquent les anneaux qui composent la ceinture).

a, a', testicules. — *b*, canal déférent. — *c*, glande accessoire du canal déférent (prostate ?). — *d*, masse en papille, au centre de laquelle débouche le canal déférent. — *e, e', e'', e'''*, poches copulatrices. — *f*, ganglion cérébroïde. — *g*, chaîne ganglionnaire nerveuse.

- Fig. 10. Clitellum et anneaux du même, vus par le côté ventral. — Grandeur naturelle. — *a*, clitellum. — *b*, papilles au centre desquelles débouchent les canaux déférents.
- Fig. 11. Portion terminale des organes génitaux mâles du même, côté gauche. — Gross. 5 D.
Les lettres *b*, *c*, *d* ont la même signification que pour la figure 9.
- Fig. 12. *Megascolex posthumus*, Vaill. (p. 72). Clitellum et anneaux voisins, vus par le côté ventral. — Grandeur naturelle.
a, clitellum. — *b*, *b'*, *b''*, papilles post-clitelliennes; c'est au centre de la papille intermédiaire *b'* que débouche le canal déférent.
- Fig. 13. Soie du même. — Gross. 214 D.
- Fig. 14. *Geogenia paradoxa*, Perr. (p. 190), portion antérieure du corps vue en dessous (D'après M. Ed. Perrier, 1872, pl. I, fig. 9). (Même remarque que pour la figure 9 relativement aux chiffres placés sur l'un des côtés).
a, orifices génitaux mâles sur la ceinture.
- Fig. 15. Une soie du même, prise dans la région du corps située en arrière du clitellum. — Gross. 90 D. (D'après M. Ed. Perrier, 1872, pl. I, fig. 12).
- Fig. 16. Une soie ornementée du clitellum du même. — Gross. 90 D. (D'après M. Ed. Perrier, 1872, pl. I, fig. 11).
- Fig. 17. *Lumbricus americanus*, Perr. (p. 128). Une soie du clitellum. — Gross. 90 D. (D'après M. Ed. Perrier, 1872, pl. I, fig. 8).
- Fig. 18. *Acanthodrilus unguatus*, Perr. (p. 172). Soie péniale. — Gross. 90 D. (D'après M. Ed. Perrier, 1872, pl. II, fig. 22).
- Fig. 19. *Phreoryctes Menkeanus*, Hoffm. (p. 196). — Grandeur naturelle.

PLANCHE 22.

POLYOPHTHALMIENS, LOMBRICINÉENS, NAIDINÉENS.

- Fig. 1. *Polyophtthalmus Ehrenbergi*, Quatr. (t. II, p. 203). — Grossi.
- Fig. 2. Extrémité antérieure du même.
- Fig. 3. Pied du même. — (Pour d'autres détails sur les Polyophtthalmes, voir : pl. I, fig. 4; pl. IV, fig. 9 à 11.)
- Fig. 4. *Lumbricus (Dendrobæna) complanatus*, Dug. (p. 117). — Grandeur naturelle.

- Fig. 5. Soie du *Lumbricus (Allobophora) trapezoides*, Dug. (p. 139).
— Gross. 60 D.
- Fig. 6. Soie du *Lumbricus (Dendrobæna) complanatus*, Dug. (p. 117).
— Gross. 60 D.
- Fig. 7. *Tubifex rivulorum* (Müll.), Lam. (p. 402). — Grandeur naturelle. Montrant l'aspect de ces animaux, leur partie postérieure à demi-sortie de la vase.
- Fig. 8. Soie capillaire du même. — Grossie.
- Fig. 9. Soie fourchue du même. — Grossie.
- Fig. 10. *Enchytræus (Archienchytræus) vermicularis*, Müll. (p. 276).
— Grandeur naturelle.
- Fig. 11. Soie du même. — Grossie.
- Fig. 12. *Stylaria lacustris*, Lin. (p. 362). — Grossi.
- Fig. 13. Soie du même. — Grossie.
- Fig. 14. *Nais barbata*, Müll. (p. 369). — Tête grossie.
- Fig. 15. Soie du même. — Grossie.
- Fig. 16. ? *Uncinia labiata*, Quatr. — Tête grossie (1).
- Fig. 17. Soie du même. — Gross. 300 D.
- Fig. 18. *Clitellio (Limnodrilus) Udekemianus*, Clap. (p. 423). — Grandeur naturelle.
- Fig. 19. Tête du même. — Grossie.
- Fig. 20. Soie du même. — Gross. 300 D.
- Fig. 21. *Dero digitata*, Müll. (p. 384). — Extrémité postérieure du corps grossie.
« a, vaisseau dont les parois s'évasent et semblent se confondre avec la couche péritonéale en arrivant à l'extrémité de l'intestin.
— b, branchies en partie contractées » (M. de Quatrefages mss.).
- Fig. 22. Soie du même. — Grossie.
- Fig. 23. *Dero obtusa*, Udek. (p. 385). Soie à crochet. — Grossie.
- Fig. 24. *Chaetogaster Limnææ*, Baer (p. 447). Portion antérieure. — Grossie.
- Fig. 25. Soie du même. — Gross. 400 D.
- Fig. 26. *Æolosoma Hemprichii*, Ehr. (p. 465). — Grossi.

(1) Le Ver représenté dans les figures 16 et 17 est ainsi nommé d'après l'explication des planches qui m'a été remise par M. de Quatrefages. Les notes plus détaillées, qui s'y rapportaient, ont été égarées.

PLANCHE 23.

LUMBRICINÉENS, NAIDINÉENS.

- Fig. 1. *Enchytræus* (*Archienchytræus*) *vermicularis*, Müll. (p. 276). Portion antérieure du corps. — Gross. environ 15 D. (D'après un dessin original d'Udekem).
- Fig. 2. Soies du même. — Gross. 250 D.
- Fig. 3. *Lumbriculus variegatus*, Müll. (p. 214). De la Mosson, près Villeneuve (Hérault). — Grandeur naturelle.
- Fig. 4. Portion antérieure du même. — Gross. environ 10 D. (D'après un dessin original d'Udekem).
- Fig. 5. Soies du même. — Gross. 214 D.
- Fig. 6. Un anneau du même pris vers la partie moyenne du corps et montrant les cœcums ramifiés du vaisseau dorsal au-dessus d'une des dilatations de l'intestin moniliforme. — Gross. 75 D.
- Fig. 7. *Rhynchelmis limosella*, Hoffm. (p. 220). Portion antérieure du corps. (D'après Grube, 1844).
- Fig. 8. Soies du même. (D'après Grube, 1844).
- Fig. 9. Coupe schématique du corps du même montrant la disposition des soies. (D'après Grube, 1844).
- Fig. 10. Deux anneaux du même, vus par la partie supérieure pour montrer la disposition du vaisseau dorsal et de ses cœcums latéraux. (D'après Grube, 1844).
- Fig. 11. *Nais elinguis*, Müll. (p. 369). — Gross. environ 30 D. (D'après un dessin original d'Udekem).
- Fig. 12. *Ophidonais serpentina*, Müll. (p. 354). Portion antérieure du corps. — Gross. environ 15 D. (D'après un dessin original d'Udekem).
- Fig. 13. *Clitellio arenarius*, Müll. (p. 414). — Gross. environ 10 D.
- Fig. 14. Soies du même. — Gross. 214 D.
- Fig. 15. *Clitellio Udekemianus*, Clap. (p. 423) (D'après Claparède, 1862, pl. III, fig. 13).
- Fig. 16. Soies du même (D'après Claparède, 1862).
- Fig. 17. *Aulophorus discocephalus*, Schmar. (p. 388) (D'après Schmarda, 1861, pl. XVII, fig. 151).
- Fig. 18. Soies supérieures du même (D'après Schmarda, 1861, pl. XVII, fig. 151).
- Fig. 19. Soies inférieures du même (D'après Schmarda, 1861, pl. XVII, fig. 151).

PLANCHE 24.

HIRUDINÉENS.

- Fig. 1. *Hirudo medicinalis*, Lin. (p. 513) (var. Sangsue vache). — Grandeur naturelle.
- Fig. 2. Une des mâchoires latéro-inférieures du même. — Grossie.
- Fig. 3. Denticules de la même mâchoire. — Gross. 300 D.
- Fig. 4. *Aulastoma gulo*, Braun (p. 511).
- Fig. 5. Tête du même grossie et comprimée, montrant la disposition des points oculiformes.
- Fig. 6. Une des mâchoires latéro-inférieures du même. — Grossie.
- Fig. 7. Denticules de la même mâchoire, vus de face. — Grossis.
- Fig. 8. *Pontobdella muricata*, Lin. (p. 531). — Grandeur naturelle.
- Fig. 9. *Nephelis vulgaris*, Müller (p. 505).
- Fig. 10. Tête du même grossie et comprimée, montrant la disposition des points oculiformes.
- Fig. 11. *Piscicola agilis*, Quatr. (p. 529). — Grossi.
- Fig. 12. Tête du même grossie et comprimée, montrant la disposition des points oculiformes.
- Fig. 13. Grandeur réelle du même.
- Fig. 14. *Glossiphonia stagnalis*, Lin. (p. 519). — Grossi.
- Fig. 15. Tête du même grossie et comprimée, montrant la disposition des points oculiformes.
- Fig. 16. Grandeur réelle du même.
- Fig. 17. *Branchellion Orbiniensis*, Quatr. (p. 526).
- Fig. 18. Portion antérieure du même, grossie.
a, ventouse orale ou céphalique, montrant en son centre l'orifice buccal. — *b*, portion antérieure du corps dépourvue de branchies. — *c*, orifices des organes reproducteurs. — *d*, branchies supportées par les mamelons, qui renferment les cœurs. — *e*, branchies sans mamelons à leur base.
- Fig. 19. Ventouse anale, vue en dessous pour montrer comment sont disposées à sa surface les petites ventouses, qui la hérissent. — Grossie.
- Fig. 20. Quelques-unes de ces petites ventouses vues de profil. — Grossies plus fortement.

PLANCHE 23

TÉRÉTULARIENS.

Fig. 1. *Prorhynchus stagnalis*, Schultze (p. 642). — (D'après Max Schultze : 1831 pl. VI, fig. 1).

a, fossettes céphaliques. — *b*, orifice du pénis. — *c*, stylet, contenu dans la partie antérieure du pénis. — *d*, réservoir prostatique. — *e*, œsophage musculeux. — *f*, estomac. — *g*, œuf complet avec vésicule germinative et cellules vitellines. — *h*, partie postérieure de l'ovaire remplie d'ovules.

Fig. 1'. Grandeur réelle du même.

Fig. 2. *Eunemertes gracilis*, Johnst. (p. 567 et 613), portion stylifère de la trompe. — Gross. 153 D.

a, lame du stylet. — *b*, son manche. — *c*, espace hyalin. — *d*, poches styligènes. — *d'*, leur canal de communication avec l'espace hyalin.

Fig. 3. *Eunemertes Neesii*, OErsted (p. 613). — Grandeur naturelle.

Fig. 4. Tête du même, montrant la disposition des yeux et du système nerveux. — Gross. environ 12 D.

Fig. 5. *Prosorochmus Claparedii*, Kef. (p. 592 et 612). — Grossi.

Fig. 5'. Grandeur réelle du même.

Fig. 6. Stylet du même. — Gross. 240 D.

Fig. 7. *Tetrastemma vermiculus*, Quatr. (p. 611), jeune individu. — Grossi.

Fig. 7'. Grandeur réelle du même.

Fig. 8. Tête du même, pour montrer la disposition des ocelles et des traînées pigmentaires, qui réunissent ceux-ci. — Gross. 80 D.

Fig. 9. *Tetrastemma flavidum*, Ehrenberg (p. 611). — Grandeur naturelle.

Fig. 10. Tête du même, montrant la disposition des ocelles, des centres nerveux et une partie des vaisseaux antérieurs. — Gross. 20 D.

Fig. 11. Partie moyenne de la trompe chez le même (p. 567). — Gross. 153 D.

A, partie postérieure de la première portion de la trompe ou portion extroversile. — B, seconde portion de la trompe ou portion stylifère. — C, partie postérieure de la troisième portion de la trompe ou portion glandulaire.

a, lame du stylet. — *b*, son manche. — *c*, espace hyalin. — *d*, poches stylogènes. — *d'*, leur canal de communication avec l'espace hyalin. — *e*, amas glandulaires ? — *f*, couches musculaires. — *g*, cavité post-stylet.

Fig. 12. Stylet du même isolé, montrant les rapports de la lame et du manche. — Gross. 214 D.

a, pointe de la lame. — *b*, tête de la lame. — *c*, manche.

Fig. 13. *Prostoma clepsinoideum*, Dug. (p. 610). — Grandeur naturelle.

Fig. 14. Partie antérieure du même. — Gross. 30 D.

a, trompe. — *b*, anse vasculaire céphalique. — *c*, masses ganglionnaires cérébroïdes. — *d*, commissure supérieure (portée en avant par la compression). — *e*, commissure inférieure (portée en arrière par la compression). — *f*, tubes ciliés ou organes latéraux étendus des fossettes céphaliques aux ganglions cérébroïdes.

Fig. 15. Stylet du même isolé, montrant les rapports de la lame et du manche. — Gross. 240 D.

Fig. 16. *Tetrastemma carcinophilum*, Köll. (p. 611). — Grandeur naturelle.

Fig. 17. Tête du même. — Gross. 62 D.

a, trompe. — *b*, stylet. — *c*, masses ganglionnaires cérébroïdes.

Fig. 18. Stylet du même isolé, montrant les rapports de la lame et du manche. — Gross. 383 D.

Fig. 19. Lame du stylet isolée. — Gross. 566 D.

Fig. 20. *Cerbratulus fasciolatus*, Ehr. (p. 617). — Gross. 3 D. environ (D'après M. McIntosh, 1873, pl. VI, fig. 2).

Fig. 21. *Drepanophorus spectabilis*, de Quatr. (p. 608). — Grandeur naturelle (D'après M. de Quatrefages, 1847, pl. XVII, fig. 12).

PLANCHE 26.

TÉRÉTULARIENS.

Fig. 1. *Tubulanus annulatus*, Mont. (p. 619). — Grandeur naturelle.

Fig. 2. Tête du même vue en dessous. — Grossie.

Fig. 3. *Euborlasia Elisabethæ*, M'Int. (p. 616). — Grandeur naturelle.

Fig. 4. *Lineus longissimus*, Gunn. (p. 615). Tête vue de côté. — Grossie.

- Fig. 5. *Tetrastemma melanocephalum*, Johnst. (p. 614). — Grandeur naturelle.
- Fig. 6. Tête du même. — Grossie.
- Fig. 7. Portion stylifère de la trompe chez le même. — Grossie.
- Fig. 8. *Amphiporus lactiflorus*, Johnst. (p. 608). — Grandeur naturelle.
- Fig. 9. Le même en marche.
- Fig. 10. Tête du même. — Grossie.
- Fig. 11. Le même, var. *Mandilla*, Quatr. (p. 609). — Grandeur naturelle.
- Fig. 12. Le même contracté.
- Fig. 13. Tête du même. — Grossie.
- Fig. 14. *Eunemertes gracilis*, Johnst. (p. 613). — Grandeur naturelle.
- Fig. 15. Tête du même. — Grossie.
- Fig. 16. ? *Drepanophorus serraticollis*, Hubrecht (*Cerebratulus crassus*, Quatr.) (p. 608). — Grandeur naturelle.
- Fig. 17. *Drepanophorus spectabilis*, Quatr. (p. 608). Tête. — Grossie.
- Fig. 18. *OErstedtia maculata*, Quatr. (p. 609). — Grandeur naturelle.
- Fig. 19. *Balanoglossus minutus* (1), A. Agass. (p. 680). — Grandeur naturelle.
- Fig. 20. Partie antérieure du corps du même, vue en dessous (p. 664). — Grossie.
a, trompe. — *b*, orifice buccal.

PLANCHE 27.

TÉRÉTULARIENS.

- Fig. 1. *Ototyphlonemertes pallida*, Kef. (p. 612). — Grossi.
- Fig. 1'. Grandeur réelle du même.
- Fig. 2. Otocyste du même (p. 538). — Gross. 100 D.
- Fig. 3. *Drepanophorus*? *polyhopla*, Schmar. (p. 608) (D'après Schmarda, 1839, pl. XI, fig. 100).
- Fig. 4. Tête du même. — Grossie (D'après Schmarda, 1839, p. 45).

(1) La structure des lamelles branchifères n'ayant pas été observée, cette détermination ne peut être donnée qu'avec réserves.

- Fig. 5. Trompe et stylets du même. — Grossis (D'après Schmarda, 1859, p. 45).
- Fig. 6. *Lineus sanguineus*, Rathke (p. 615). — Grandeur naturelle.
- Fig. 7. Tête du même, montrant la disposition des yeux et des grandes fentes céphaliques. — Gross. 12 D.
- Fig. 8. *Lineus gesserensis*, Müll. (p. 615). — Grandeur naturelle.
- Fig. 9. *Lineus longissimus*, Gunn. (p. 615). Partie antérieure. — Grandeur naturelle.
- Fig. 10. *Cerebratulus bilineatus*, Rénier (p. 616). — Grandeur naturelle.
- Fig. 11. *Valencinia longirostris*, Quatr. (p. 618). — Grandeur naturelle.
- Fig. 12. Partie moyenne de la trompe chez le même (p. 564). — Gross. 10 D.
- A, partie postérieure de la région antérieure. — B, région moyenne. — C, partie antérieure de la région postérieure.
- Fig. 13. *Ophiocephalus heterorochmus*, Schmar. (p. 613) (D'après Schmarda, 1859, pl. XI, p. 101).
- Fig. 14. Tête du même. — Grossie (D'après Schmarda, 1859, p. 46).
- Fig. 15. *Borlasia (Colpocephalus) quadripunctata*, Quoy et Gaimard (p. 606). — Grandeur naturelle (D'après Quoy et Gaimard : Voyage de l'Astrolabe ; Vers apodes, pl. XXIV, fig. 22).
- Fig. 16. Le même grossi vu en dessus (D'après Quoy et Gaimard : Voyage de l'Astrolabe ; Vers apodes, pl. XXIV, fig. 20).
- Fig. 17. Portion antérieure du même vu en dessous (D'après Quoy et Gaimard : Voyage de l'Astrolabe ; Vers apodes, pl. XXIV, fig. 21).
- Fig. 18. *Chlamydocephalus Novæ-Zelandiæ*, Quoy et Gaimard (p. 602), vu en dessous et de grandeur naturelle (D'après Quoy et Gaimard. 1833 ; Vers apodes, pl. XXIV, fig. 16).
- Fig. 19. Cordon contenant des œufs, qu'on suppose provenir du *Lineus gesserensis*, Müll. (p. 592). — Gross. 20 D.
- Fig. 20. *Pilidium* (p. 593), au sortir de l'œuf et nageant librement (D'après Metschnikoff, 1869, pl. IX, fig. 4). — Cette figure et les deux suivantes sont fortement grossies.
- a, enfoncement buccal en cul-de-sac.
- Fig. 21. *Pilidium* plus avancé dans son développement (D'après Metschnikoff, 1869, pl. IX, fig. 8).

a', voiles ciliés buccaux. — *b*, disques pairs antérieurs. — *c*, disques pairs postérieurs. — *d*, petite vésicule placée contre les disques pairs postérieurs.

Fig. 22. *Pilidium* montrant dans son intérieur les parties déjà distinctes du Némertien (D'après Metschnikoff, pl. X, fig. 13).

a', voiles ciliés buccaux. — *b*, disques pairs antérieurs, très développés, contenant la trompe, *e*, du Némertien. — *c*, disques pairs postérieurs, on y distingue la membrane d'enveloppe, *g*, ou amnion.

PLANCHE 28.

PLANARIENS.

Fig. 1. *Monocelis lineata*, Müll. (p. 645). — Grossi.

Fig. 1'. Grandeur réelle du même.

Fig. 2. Tête du même, observée sous le compresseur et montrant l'otocyste en arrière de la tache oculaire, qui en réalité est double. — Gross. 170 D.

Fig. 3. Individu jeune de la même espèce, observé sous le compresseur et montrant la position de la trompe pharyngienne plus reculée que chez l'adulte. — Grossi.

Fig. 3'. Grandeur réelle du même.

Fig. 4. *Derostoma megalops*, Dug. (p. 643). — Grossi.

Fig. 4'. Grandeur réelle du même.

Fig. 5. *Mesostoma grossum*, Müll. (p. 633 et 642). Du calvaire Louison (Bavincourt, Pas-de-Calais). — Grossi.

a, orifice buccal. — *b*, orifice génital.

La cavité viscérale est remplie d'œufs renfermant des embryons déjà pourvus d'yeux, en *c* se trouve même un embryon libre.

Fig. 5'. Grandeur réelle du même.

Fig. 6. *Macrostoma hystrix*, OErst. (p. 642). — Grossi.

Fig. 6'. Grandeur réelle du même.

Fig. 7. *Convoluta convoluta*, OErst. (p. 640). — Grossi.

Fig. 7'. Grandeur réelle du même.

Fig. 8. *Macrorhynchus Nægeli*, Köll. (*Prostoma Kefersteinii*, Clap.) (p. 643). — Grossi.

a, trompe. — *b*, pharynx. — *c*, sac stomacal.

- Fig. 8'. Grandeur réelle du même.
- Fig. 9. Le même comprimé, montrant la disposition de la trompe, *a*, et du pharynx, *b*. — Gross. 59 D.
- Fig. 10. *Planaria torva*, Müll. (p. 650). — Grossi.
- Fig. 10'. Grandeur réelle du même.
- Fig. 11. *Polycelis viganensis*, Dug. (p. 651). — Grossi.
- Fig. 11'. Grandeur réelle du même.
- Fig. 12. *Rhynchodemus terrestris*, Dug. (p. 650), vu du côté dorsal. — Grandeur naturelle.
- Fig. 13. Le même vu du côté ventral. — Grandeur naturelle.
- Fig. 14. Le même. — Grossi.

PLANCHE 29.

PLANARIENS.

- Fig. 1. *Tricelis fasciatus*, Quatr. (= ? *Cestoplana rubrocincta*, Grube sec. Lang, 1884, p. 516).
- Fig. 2. Tête du même (suivant M. Lang, les points oculiformes pourraient bien être accidentels et dus, dans cette hypothèse, au développement de Grégarines).
- Fig. 3. Grandeur réelle du même.
- Fig. 4. *Prosthlostoma siphunculus*, Chiaje (p. 656).
- Fig. 4'. Grandeur réelle du même.
- Fig. 4''. Tête du même pour montrer la disposition des points oculiformes. — Grossie.
- Fig. 5. *Stylochoplana maculata*, Quatr. (p. 654).
- Fig. 6. Grandeur réelle du même.
- Fig. 7. *Oligocladus sanguinolentus*, Quatr. (p. 656).
- Fig. 8. Grandeur réelle du même.
- Fig. 9. *Prosthecæreus vittatus*, Mont. (p. 656). — Grandeur naturelle.
- Fig. 11. *Thysanozoon Brocchi*, Risso (p. 654).
- Fig. 12. Grandeur réelle du même.
- Fig. 13. Tête du même vue en dessus. — Grossie.
- Fig. 14. La même vue en dessous. — Grossie comme la précédente.

Fig. 15. *Proxenetes gracilis*, Graff (p. 642).

a, intestin. — *b*, pharynx. — *c*, cerveau, portant les organes oculiformes. — *d*, organes urticants ou nématocystes encore renfermés dans les cellules (fig. 17). — *e*, les mêmes devenus libres et formant une double trainée jusqu'à l'orifice placé à l'extrémité antérieure du rostre. — *f*, germigènes. — *g*, appareil génital mâle.

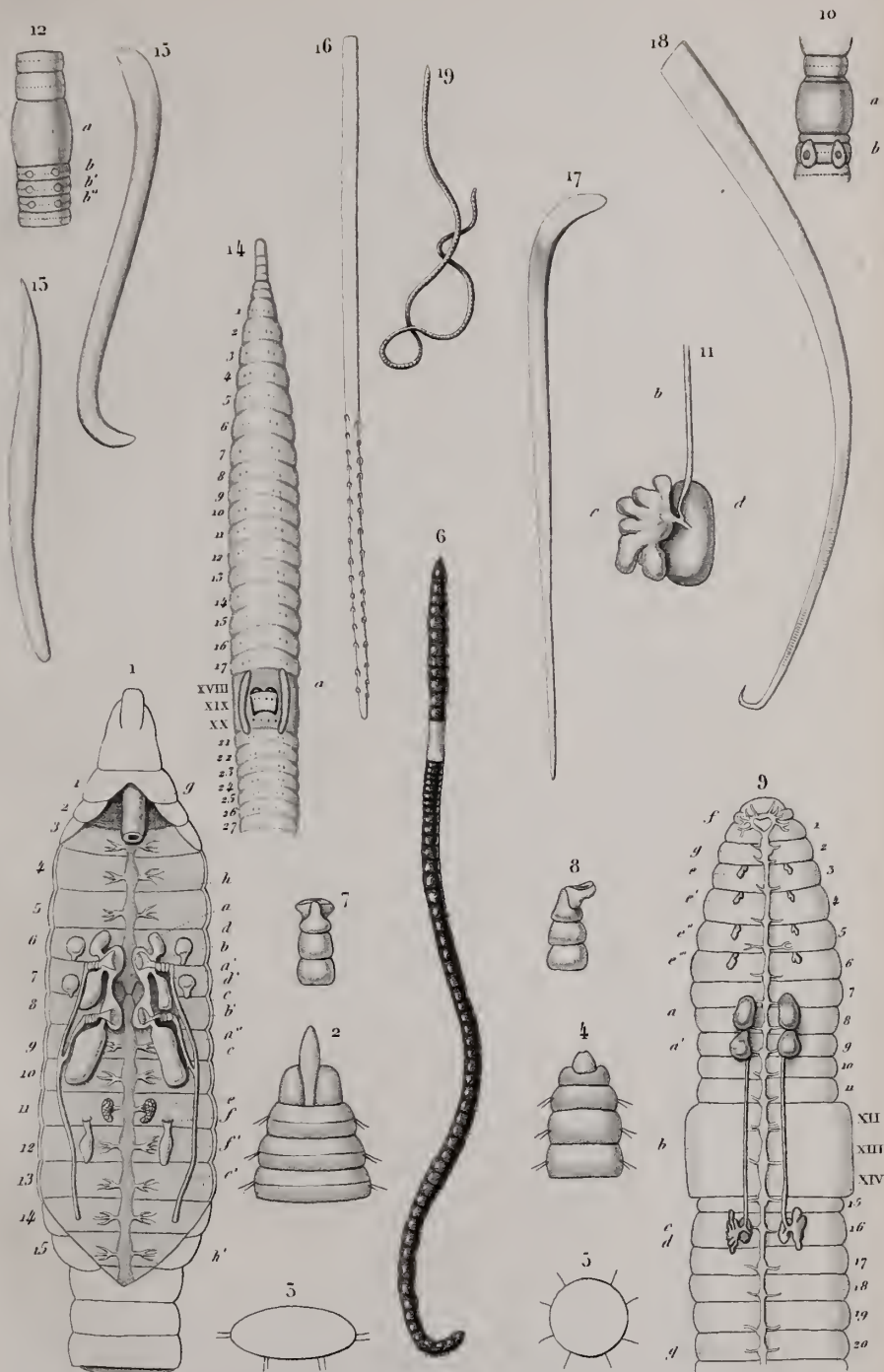
Fig. 16. Grandeur réelle du même.

Fig. 17, 18, 19, 20. Nématocystes du même, grossis.

Fig. 21. Organe oculiforme du même.

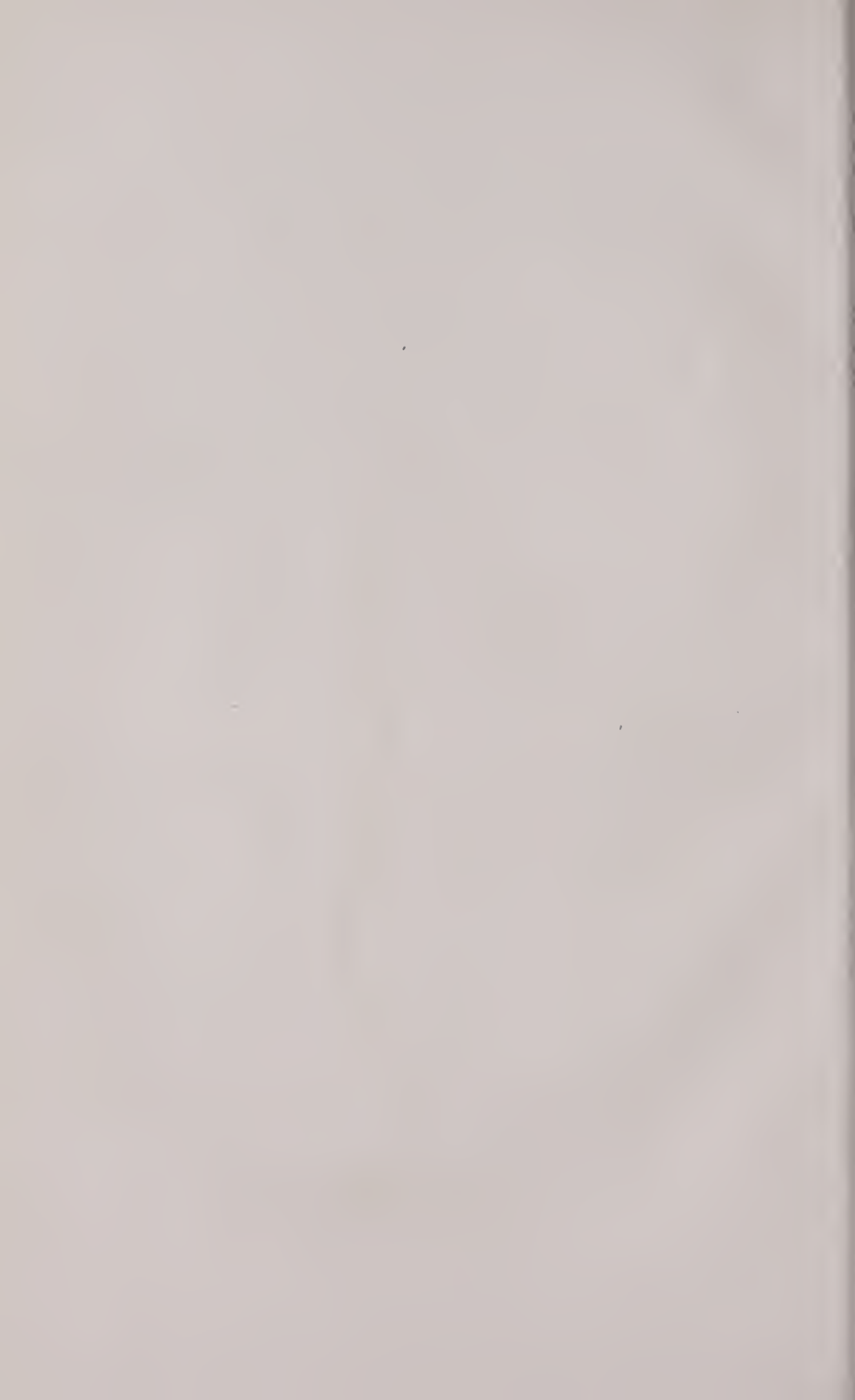
Fig. 22. Appareil copulateur du même.

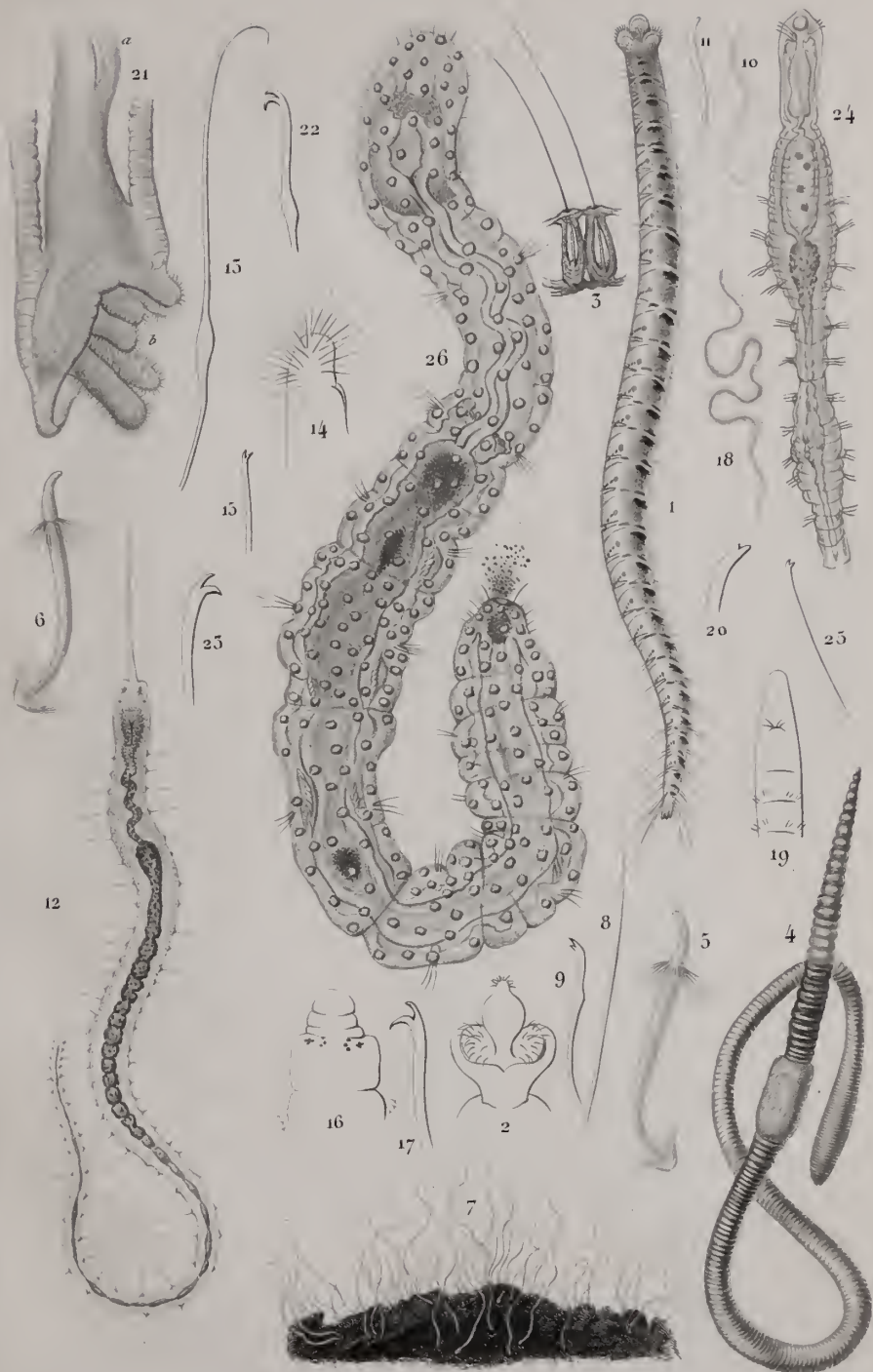
Fig. 23. ? *Macrorhynchus*, jeune (p. 643). De Saint-Vaast la Hougue.
— Grossi.



L. V. del. aut. dir.

Corbié sc.

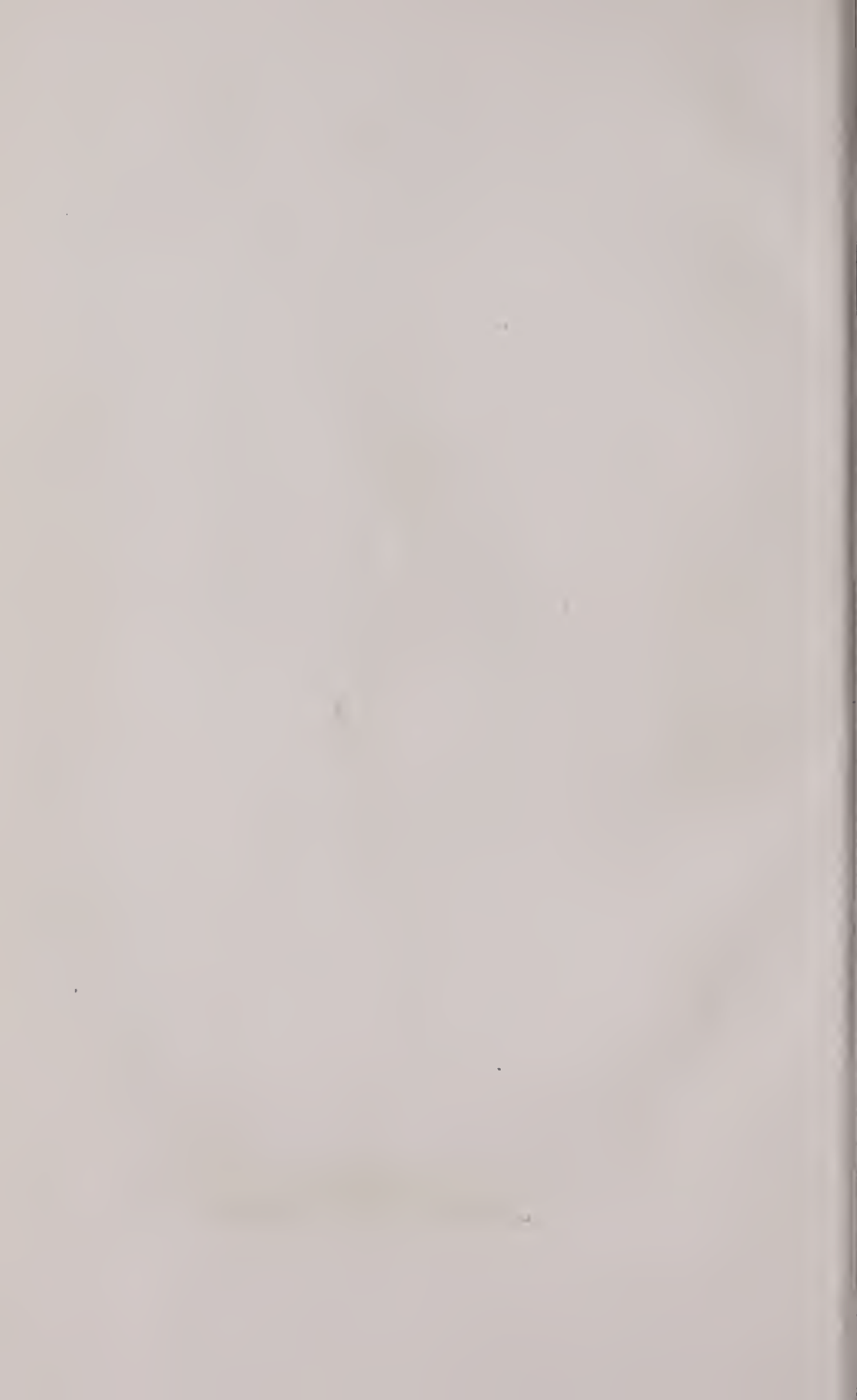


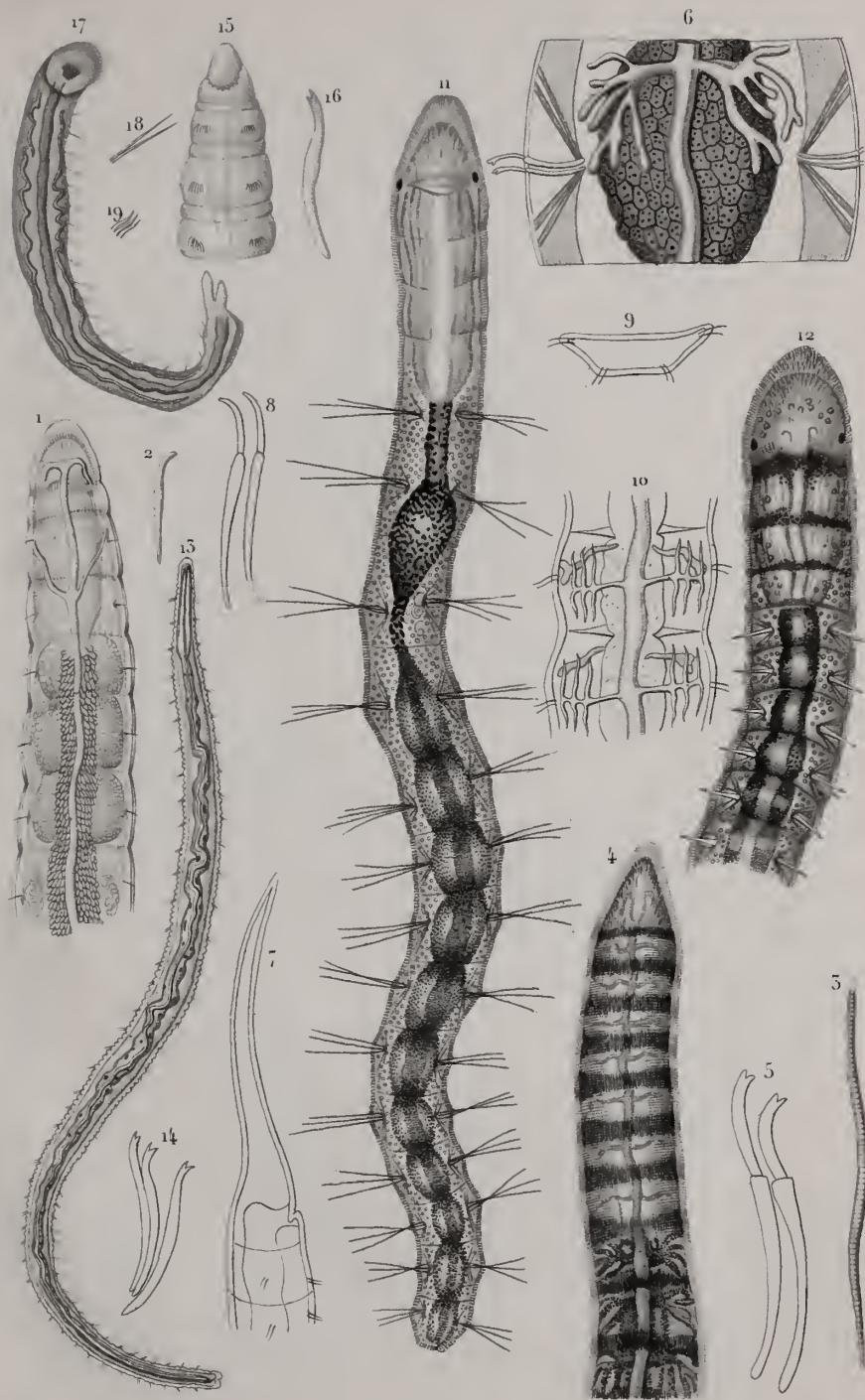


De Q. del.

Pierre sc.

POLYOPHTHALMIENS. LOMBRICINÉENS. NAÏDINÉENS.

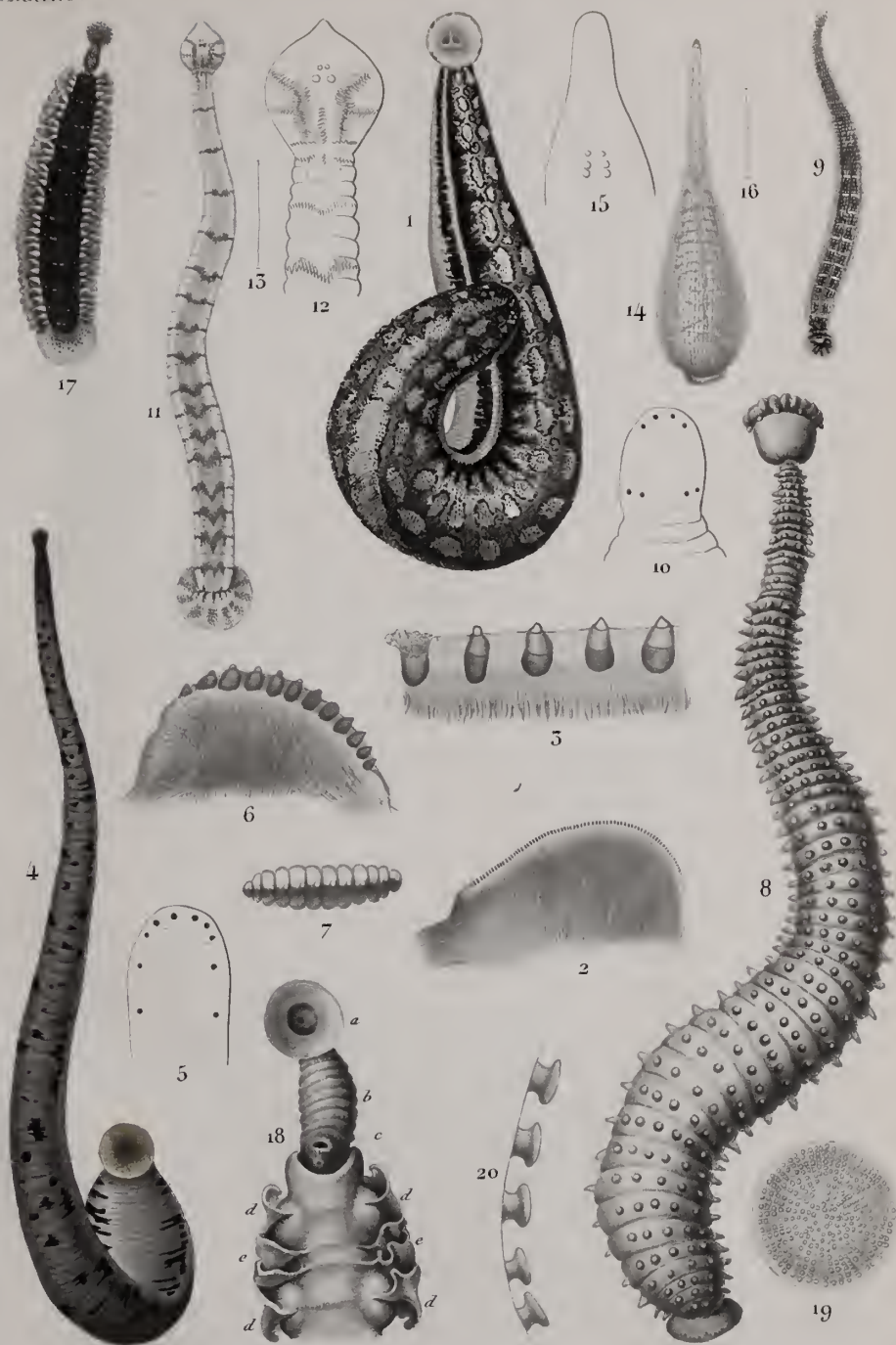


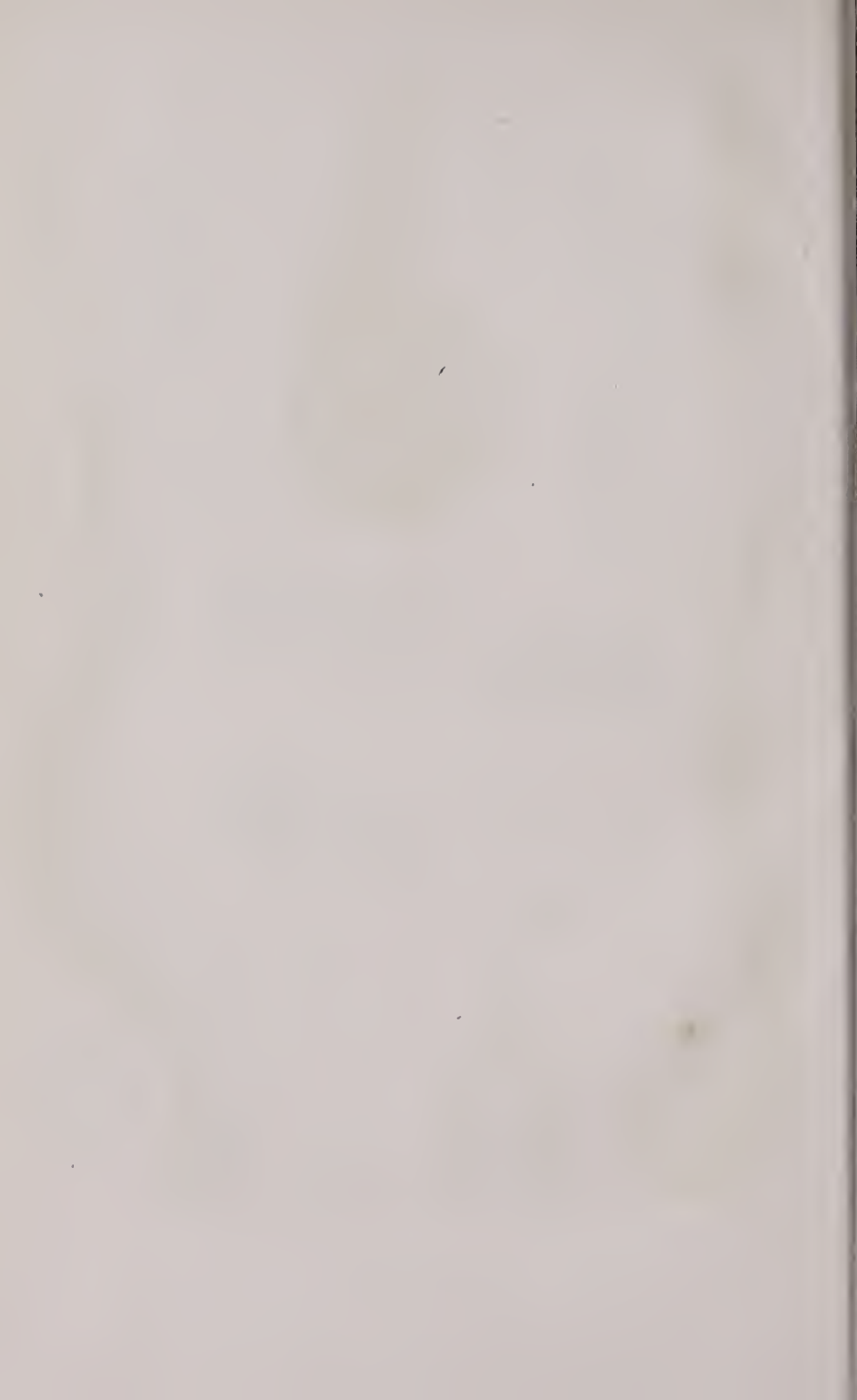


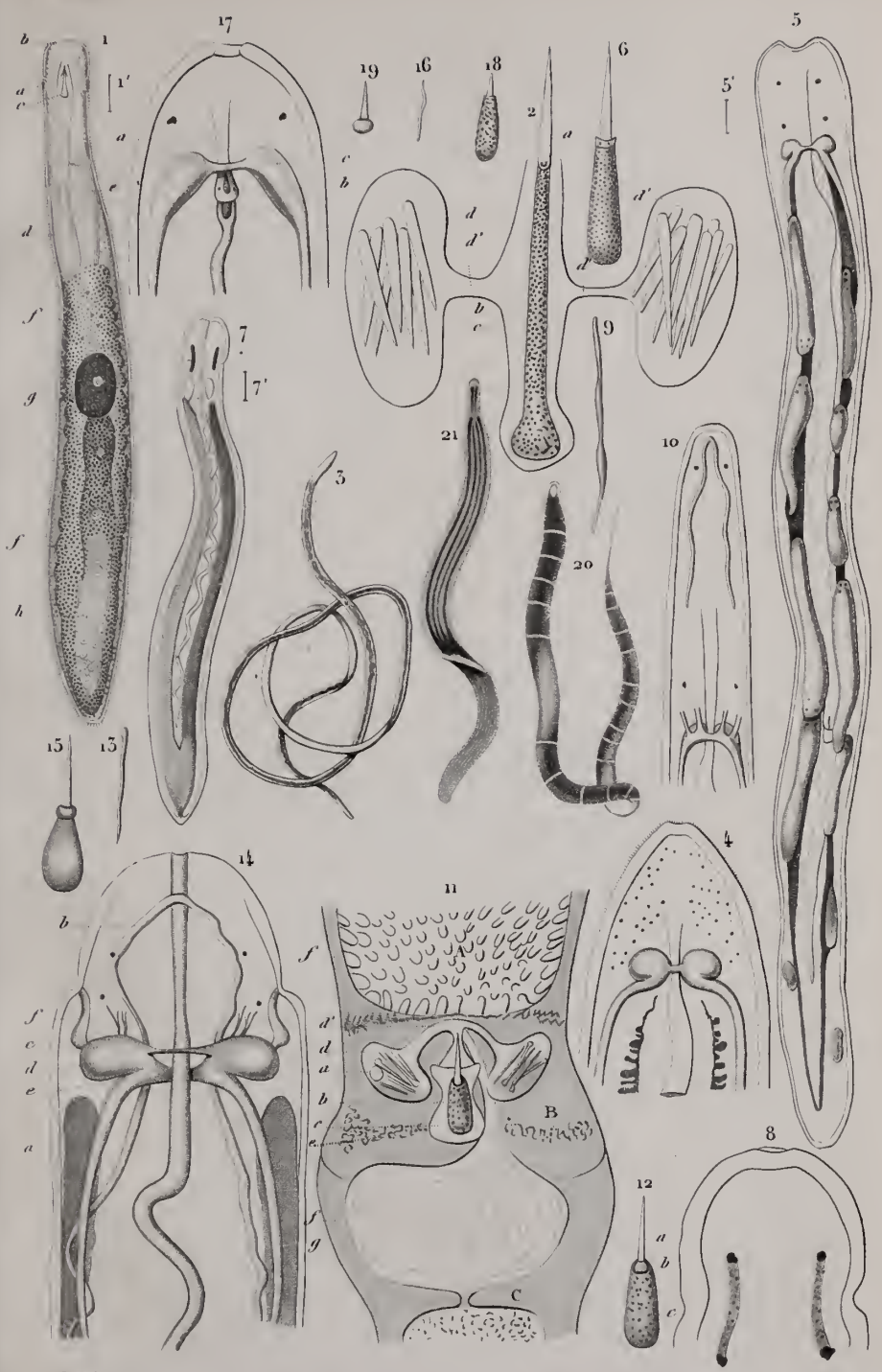
L. V. del. aut. dir.

Corbié sc.









L. V. del. aut. dir.

Corbié sc.

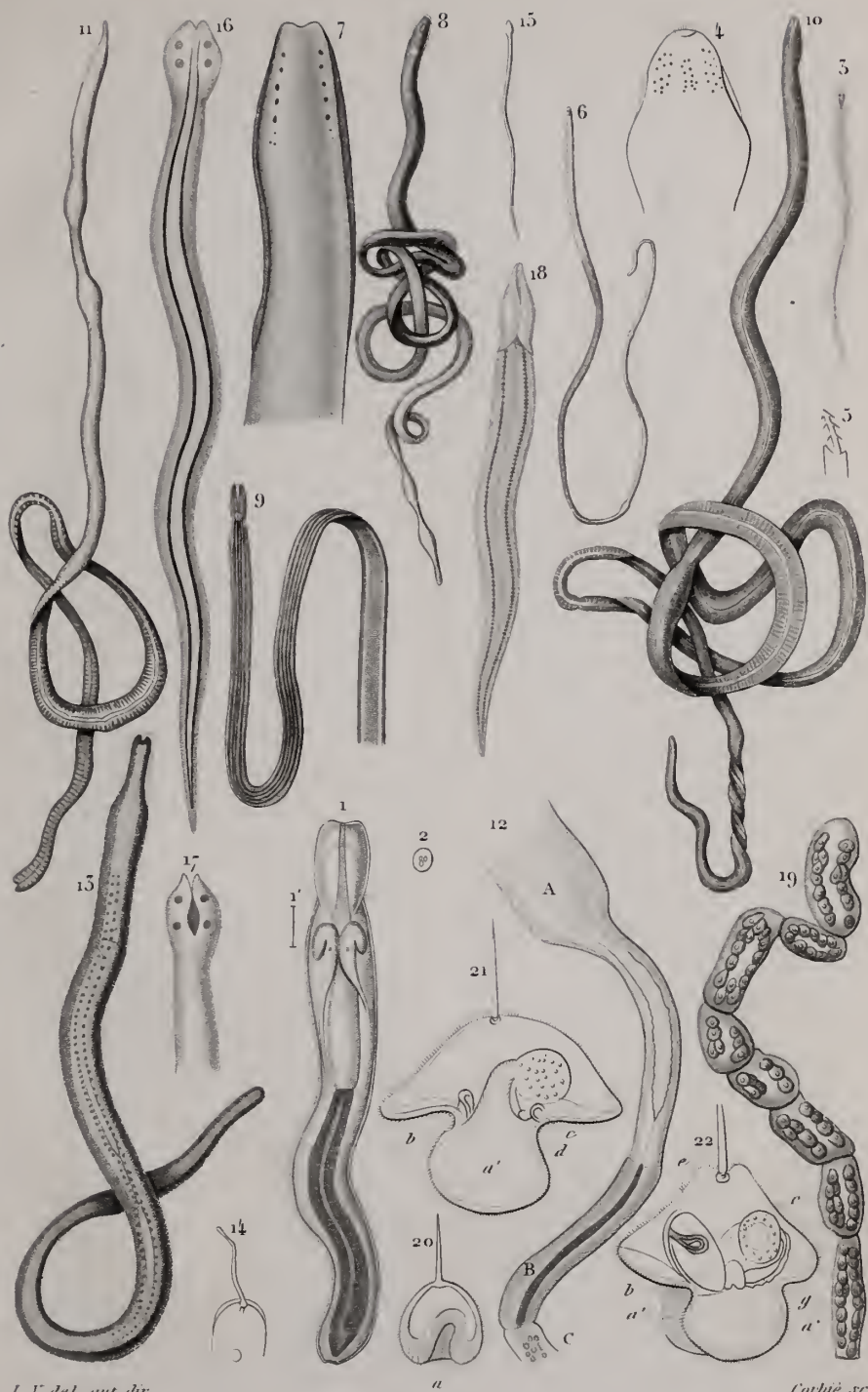


De Q. del.

Pierre sc

TÉRÉTULARIENS

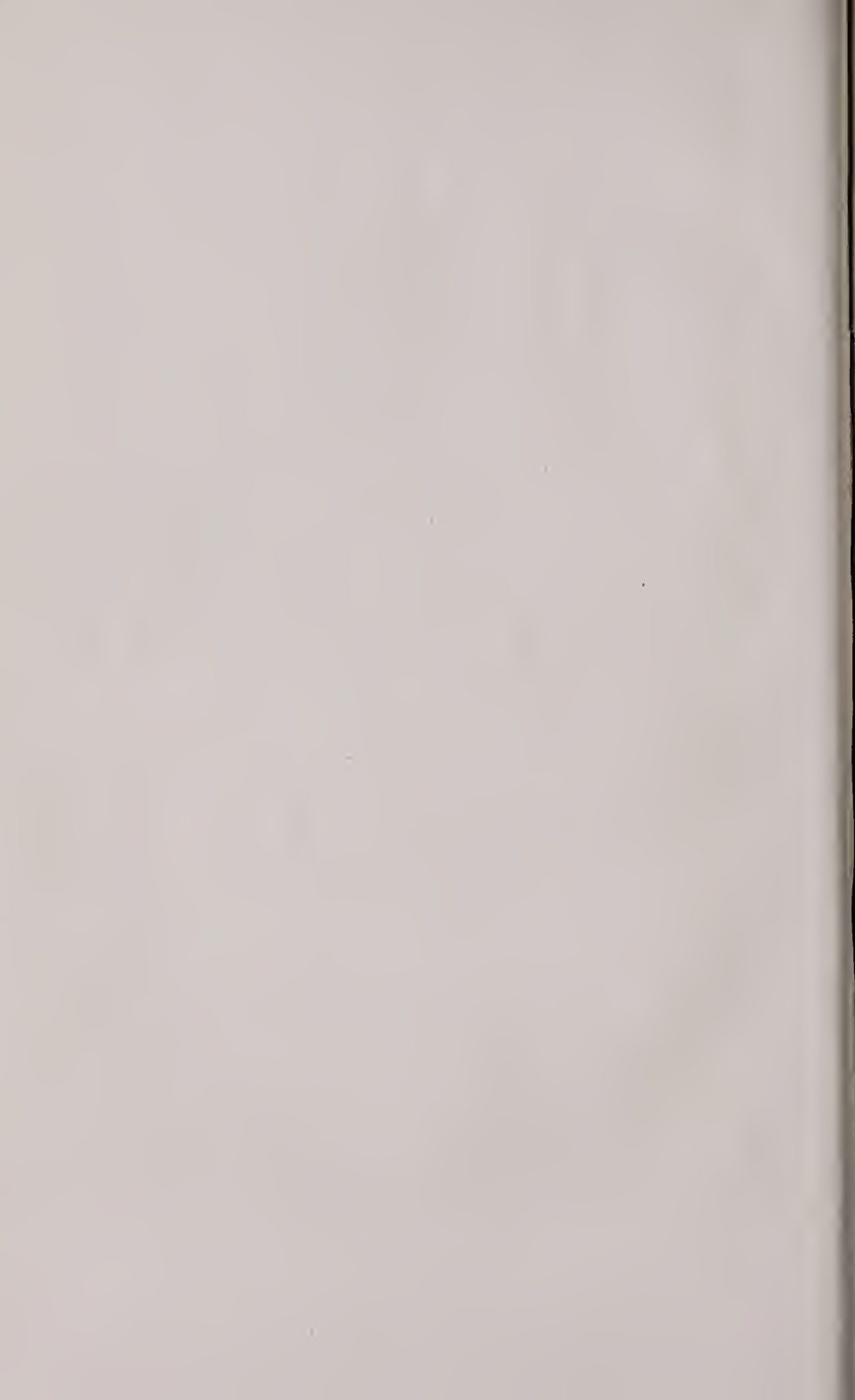


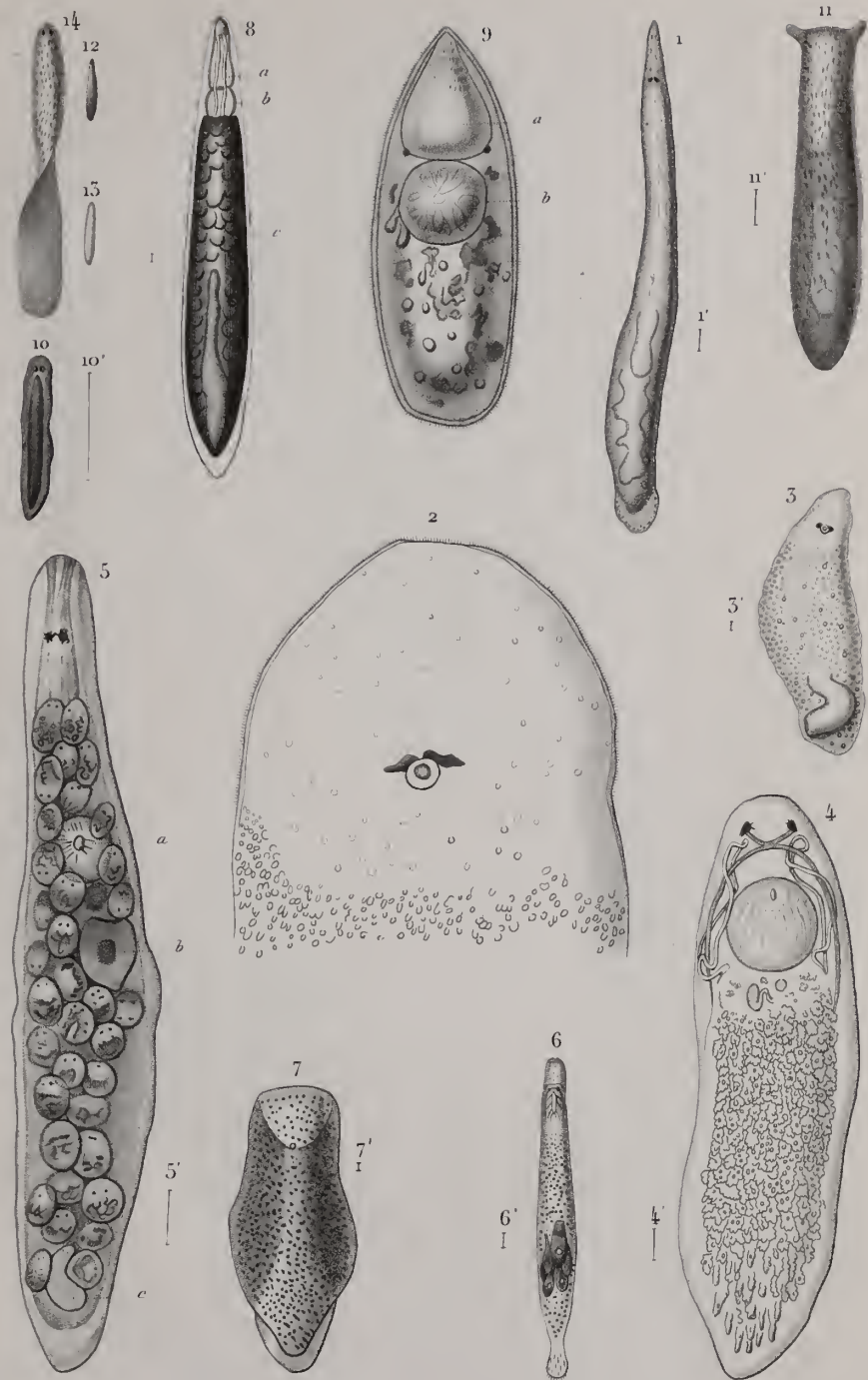


L.V. del aut dir.

Corbié sc.

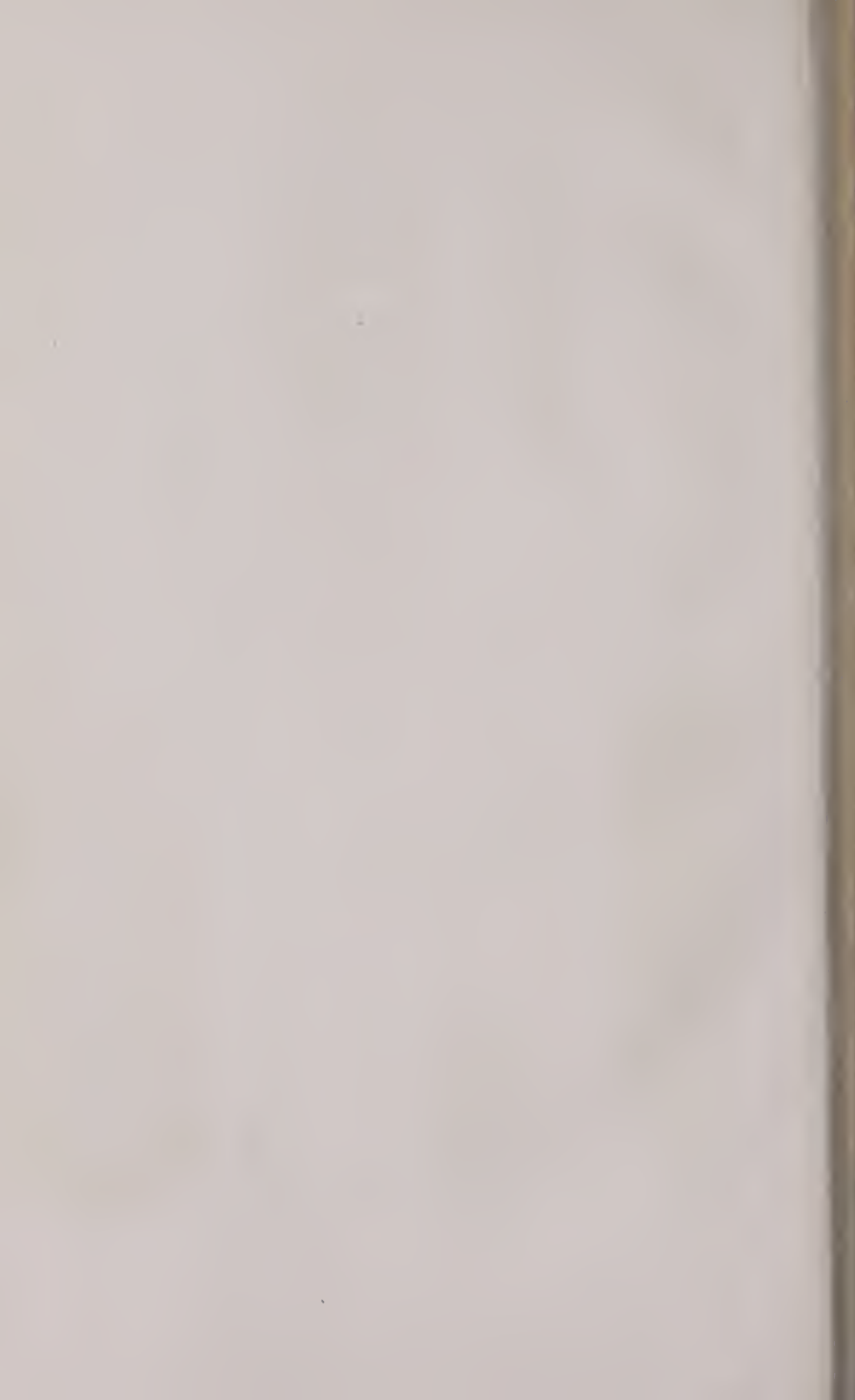
TÉRÉTULARIENS

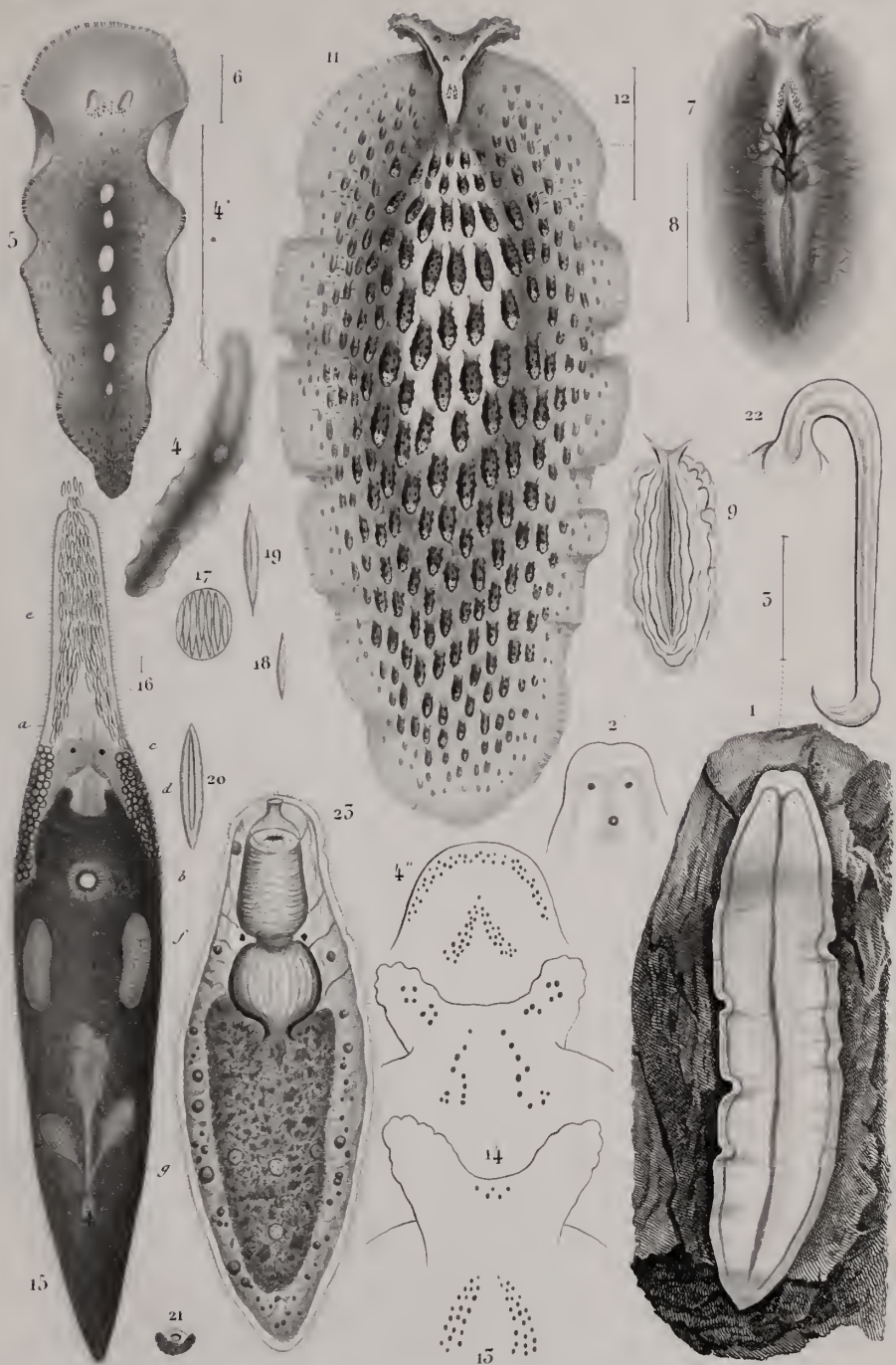




L. V. del.

Corbié sc.

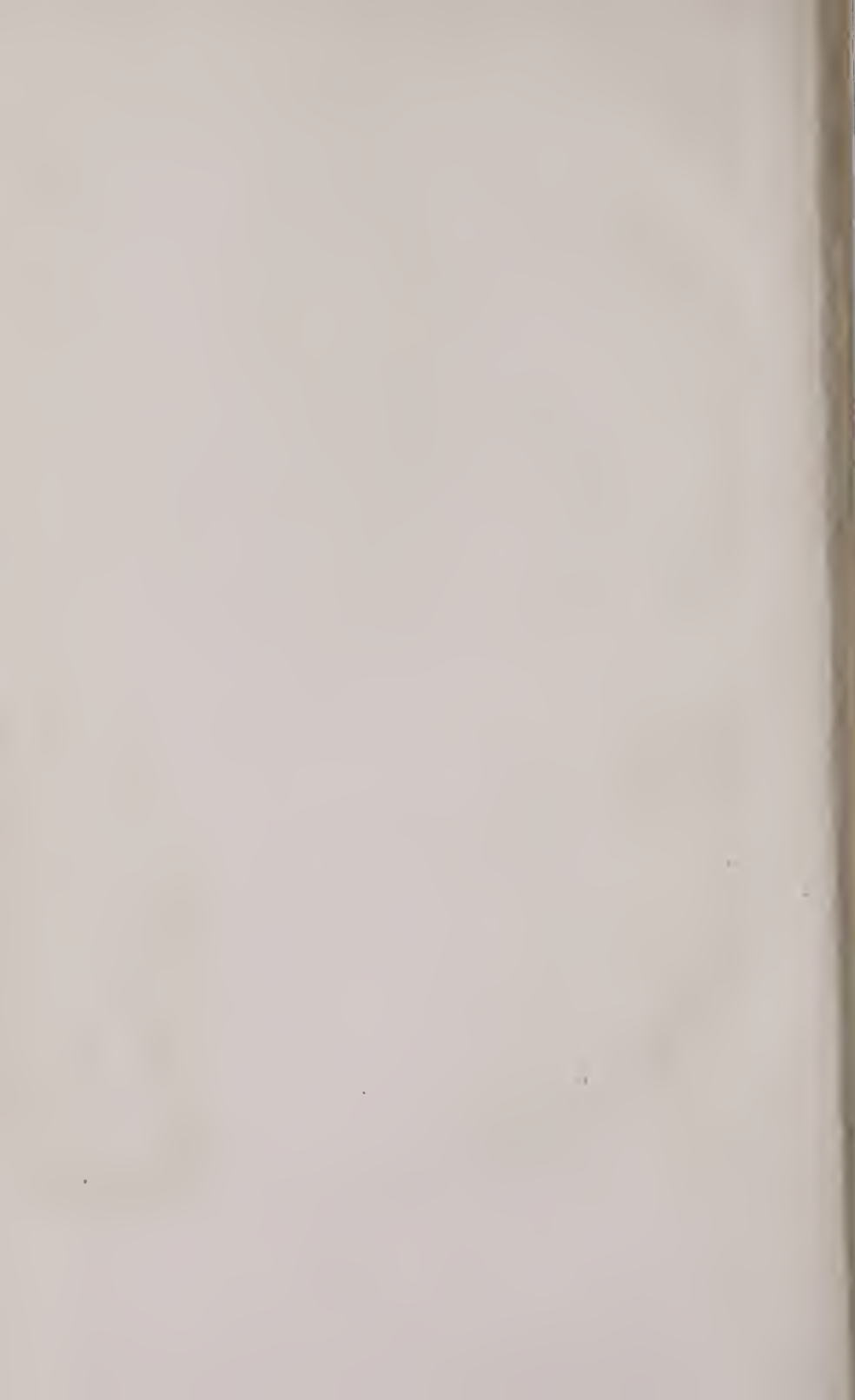


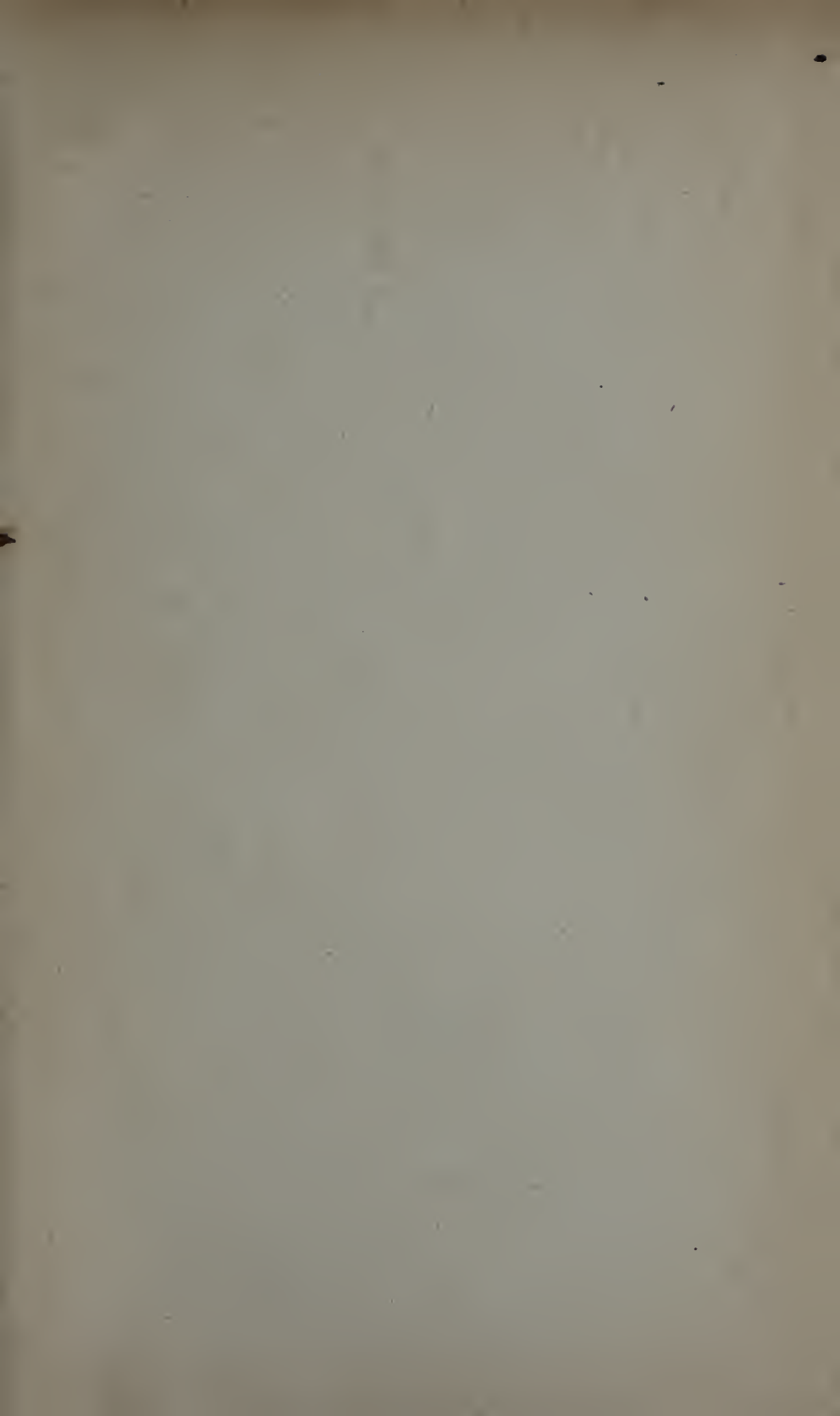


Pic Q del

Pierre sc

PLANARIENS





AMNH LIBRARY



100037009